

О применении специальных обобщенных координат для исследования совместных изгибных колебаний лопастей несущего винта, закрепленного на упругодемпфирующей опоре

Загордан А.А.^{1*}, Загордан Н.Л.^{2}**

¹*Московский вертолетный завод им. М.Л. Миля,
ул. Большая Пионерская, 1, Москва, 115054, Россия*

²*Федеральный исследовательский центр «Информатика и управление» РАН,
ул. Вавилова, 44, кор.2, Москва, 119333, Россия*

**e-mail: a.zagordan@gmail.com*

***e-mail: zagordann@gmail.com*

Статья поступила 01.10.2019

Аннотация

Рассматриваются связанные через опору – «пилон - несущий винт» изгибные колебания лопастей несущего винта вертолета, как естественно закрученных стержней, в плоскости тяги и плоскости вращения. Представлена общая система уравнений колебаний для динамической системы «несущий винт – опора», расчетные резонансные диаграммы несущего винта с соответствующими амплитудно-частотными характеристиками в виде зависимостей изменения коэффициентов динамичности по частоте для нагрузок, проходящих на вал несущего винта.

Для преобразования системы линейных интегро - дифференциальных уравнений с частными производными и периодическими коэффициентами, описывающими совместные изгибные колебания лопастей несущего винта и втулки несущего винта на упруго-демпфирующей опоре, в систему обыкновенных дифференциальных

уравнений с периодическими коэффициентами использован метод Бубнова-Галеркина. Также показано преобразование исходных обобщенных координат, описывающих колебания каждой отдельной лопасти во вращающейся системе координат, в специальные обобщенные координаты, описывающие совместные колебания всех лопастей несущего винта.

Для анализа получаемых результатов расчетов на вынужденные колебания и сопоставления с экспериментальными данными записей вибраций на вращающихся частях втулки, рассматривается характер движения и колебательных процессов втулки и лопастей во вращающейся и в невращающейся системах координат. Представлены графики, показывающие изменение траектории движения точки на лопасти и характера колебательного процесса при переходе из вращающейся системы в невращающуюся систему.

Проведены расчеты резонансных диаграмм и амплитудно-частотных характеристик для вертолета Ми-38 с шести и пяти лопастным несущим винтом, имеющего гибкие пластиково-композиционные лопасти. Проведен сравнительный анализ динамической реакции системы «несущий винт-опора» с различным числом лопастей с построением соответствующих амплитудно-частотных характеристик.

На основании сравнительного анализа динамической реакции системы «несущий винт-опора» для двух вариантов числа лопастей несущего винта для вертолета МИ-38, сделан вывод, о предпочтительности шестилопастного несущего винта пятилопастному по условиям вибраций.

Ключевые слова: вибрации, композиционные лопасти, совместные колебания, несущая лопасть, метод Бубнова-Галеркина, обобщенная система координат.

Введение

На этапе проектирования вертолета, при решении проблемы вибраций вертолета, действующих с проходными гармониками несущего винта (НВ), возникает необходимость проведения анализа совместных колебаний лопастей НВ и фюзеляжа вертолета, что в свою очередь приводит к рассмотрению задачи о собственных и вынужденных колебаниях винта на упругодемпфирующей опоре.

В данной работе рассматриваются связанные через опору – «пилон – НВ» изгибные колебания лопастей НВ, как естественно закрученных стержней, в плоскости тяги (ПТ) и плоскости вращения (ПВ). Представлена общая система уравнений колебаний для динамической системы «НВ-опора» в декартовой системе координат и основные преобразования для перехода к специальным обобщенным координатам НВ, как механической системы, обладающей круговой симметрией [1, 2]. Показаны расчетные резонансные диаграммы (РД) НВ на примере вертолета Ми-38 в невращающейся системе координат и соответствующие амплитудно-частотные характеристики (АЧХ) в виде зависимостей изменения коэффициентов динамичности по частоте для нагрузок, проходящих на вал НВ. Для основных обобщенных координат, представлены соответствующие формы колебаний НВ, а также некоторые траектории движений втулки и лопастей в ПВ.

Расчетная модель и уравнения колебаний

Рассматриваются совместные колебания $z_n \geq 3$ упругих на изгиб лопастей и вращающейся с круговой частотой ω втулки НВ, имеющей горизонтальные и вертикальные шарниры и установленной на упруго-демпфирующей опоре.

В общем случае, положение втулки НВ т. А (рис.1), которая обладает массой M_0 и моментами инерции $J_0 = [J_{0x}, J_{0y}, J_{0z}]^T$, в невращающейся системе координат $OXYZ$ определяется вектором координат $q_0(t) = [x, y, z, \varphi_x, \varphi_y, \varphi_z]^T$, а упругие и демпфирующие свойства опоры втулки НВ – «пилона НВ», характеризуются матрицами динамической жесткости $C_0(\nu)$ и демпфирования $K_0(\nu)$ размерностью $\{6 \times 6\}$, при этом для определенности предполагается, что матрица $K_0(\nu)$ диагональная.

Положение ρ -го сечения k -ой лопасти во вращающейся системе координат, связанной с k -ой лопастью (k -м рукавом втулки НВ) $o^1 \zeta_k^1, \eta_k^1, z_k^1$ (рис. 1), определяется вектором-функцией $[\eta_{x,k}, \eta_{z,k}]^T$, где

$\eta_{x,k} = \eta_{x,k}(\rho, t)$ - функция деформации k -ой лопасти в ПВ,

$\eta_{z,k} = \eta_{z,k}(\rho, t)$ - функция деформации k -ой лопасти в ПТ.

Для общего случая главные центральные оси ρ -го сечения лопасти $V(\rho), U(\rho)$ повернуты на угол $\alpha(\rho)$ относительно осей $o^1 \eta_k^1 z_k^1$.

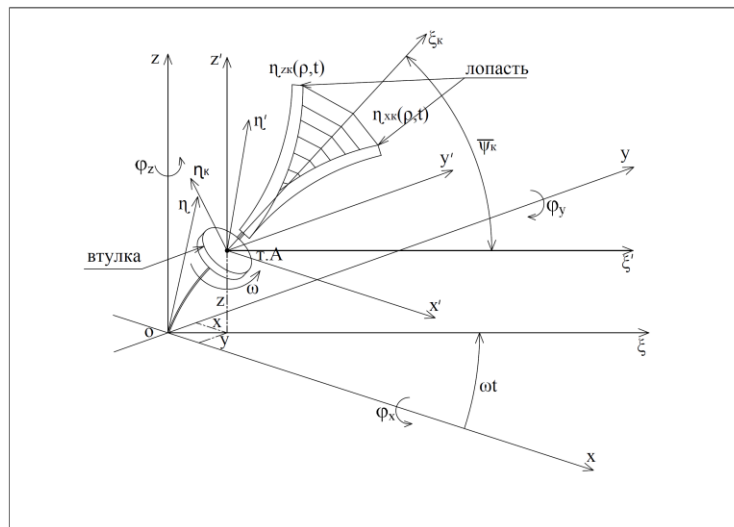


Рис. 1. Расчетная модель несущего винта на упруго-демпфирующей опоре и системы координат.

Связь между координатами в невращающейся и вращающейся системах для лопасти осуществляется через матрицу:

$$l\psi_k = \begin{vmatrix} \cos \psi_k & -\sin \psi_k & 0 \\ \sin \psi_k & \cos \psi_k & 0 \\ 0 & 0 & 1 \end{vmatrix}$$

где, $\psi_k = (\omega t + \bar{\psi}_k)$ - азимутальный угол k-ой лопасти,

$$\bar{\psi}_k = 2\pi(k-1) / z_n .$$

Для указанных переменных общая система линейных интегро - дифференциальных уравнений с частными производными и периодическими коэффициентами, описывающих совместные изгибные колебания лопастей НВ и втулки НВ на упруго-демпфирующей опоре, имеет следующий вид [3 - 7]:

$$(M_0 + z_n m_n) \ddot{x} + k_{xx} \dot{x} + (c_{xx}x + c_{xy}y \dots + c_{x\phi_z} \phi_z) = \sum_{k=1}^{z_n} \cos \psi_k 2\omega \int_{l_{вту}}^R m \dot{\eta}_{xk} d\rho +$$

$$\sum_{k=1}^{z_n} \sin \psi_k \int_{l_{вту}}^R [m \cdot (\ddot{\eta}_{xk} - \omega^2 \eta_{xk} - 2\omega \beta_0 \dot{\eta}_{zk}) + m \ddot{\phi}_z (l_{вту} + \rho) + f_{xk}] d\rho$$

$$\begin{aligned}
(M_0 + z_{\text{л}} m_{\text{л}}) \ddot{y} + k_{yy} \dot{y} + (c_{yx} x + c_{yy} y + \dots + c_{y\phi_z} \phi_z) &= \sum_{k=1}^{z_{\text{л}}} \sin \psi_k 2\omega \int_{l_{\text{бу}}}^R m \dot{\eta}_{xk} d\rho + \\
\sum_{k=1}^{z_{\text{л}}} \cos \psi_k \int_{l_{\text{бу}}}^R [m(\ddot{\eta}_{xk} - \omega^2 \eta_{xk} - 2\omega \beta_0 \dot{\eta}_{zk}) + m \ddot{\phi}_z(l_{\text{бу}} + \rho) + f_{xk}] d\rho & \\
(M_0 + z_{\text{л}} m_{\text{л}}) \ddot{z} + k_{zz} \dot{z} + (c_{zx} x + \dots + c_{zz} z + \dots + c_{z\phi_z} \phi_z) &= - \sum_{k=1}^{z_{\text{л}}} \int_{l_{\text{зу}}}^R \{m[\ddot{\eta}_{zk} + 2\omega \beta_0 \dot{\eta}_{xk} + (\ddot{\phi}_x \sin \psi_k \\
- \ddot{\phi}_y \cos \psi_k)](l_{\text{бу}} + \rho) + 2\omega(\dot{\phi}_y \sin \psi_k + \dot{\phi}_x \cos \psi_k)(l_{\text{бу}} + \rho)\} + f_{zk} d\rho & \\
(J_{ox} + \frac{z_{\text{л}}}{2} J_{\text{лов}}) \ddot{\phi}_x + (J_o + z_{\text{л}} J_{\text{лов}}) \omega \dot{\phi}_y + k_{\phi_x \phi_x} \dot{\phi}_x + (c_{\phi_x x} x + \dots + c_{\phi_x \phi_x} \phi_x + \dots + c_{\phi_x \phi_z} \phi_z) &= \\
- \sum_{k=1}^{z_{\text{л}}} \sin \psi_k \int_{l_{\text{гу}}}^R [m(\ddot{\eta}_{zk} + 2\omega \beta_0 \dot{\eta}_{xk} + f_{zk})(l_{\text{зу}} + \rho)] d\rho & \quad (1) \\
(J_{oy} + \frac{z_{\text{л}}}{2} J_{\text{лов}}) \ddot{\phi}_y - (J_o + z_{\text{л}} J_{\text{лов}}) \omega \dot{\phi}_x + k_{\phi_y \phi_y} \dot{\phi}_y + (c_{\phi_y x} x + \dots + c_{\phi_y \phi_y} \phi_y + \dots + c_{\phi_y \phi_z} \phi_z) &= \\
\sum_{k=1}^{z_{\text{л}}} \cos \psi_k \int_{l_{\text{гу}}}^R [m(\ddot{\eta}_{zk} + 2\omega \beta_0 \dot{\eta}_{xk}) + f_{zk}](l_{\text{зу}} + \rho) d\rho &
\end{aligned}$$

$$\begin{aligned}
(J_0 + z_{\text{л}} J_{\text{лов}}) \ddot{\phi}_z + k_{\phi_z \phi_z} \dot{\phi}_z + (c_{\phi_z x} x + \dots + c_{\phi_z z} z + \dots + c_{\phi_z \phi_z} \phi_z) &= \\
- \sum_{k=1}^{z_{\text{л}}} \int_{l_{\text{зу}}}^R \{m[(\ddot{\eta}_{xk} - \omega^2 \eta_{xk} - 2\omega \beta_0 \dot{\eta}_{zk}) + (x \sin \psi_k + y \cos \psi_k)] + f_{xk}\} (l_{\text{бу}} + \rho) d\rho & \\
\{[(EJ_U \cos^2 \alpha + EJ_V \sin^2 \alpha) \eta_{xk}'''] - [(EJ_U - EJ_V) \sin \alpha \cdot \cos \alpha \cdot \eta_{zk}''']\} - [N \eta_{zk}''] & \quad (1a) \\
+ m \ddot{\eta}_{xk} - \omega^2 m \eta_{xk} - 2m \omega \beta_0 \dot{\eta}_{zk} + m(\ddot{y} \cos \psi_k - \ddot{x} \sin \psi_k) + m \ddot{\phi}_z(l_{\text{бу}} + \rho) &= f_{xk}
\end{aligned}$$

$$\begin{aligned}
\{ -[(EJ_U - EJ_V) \sin \alpha \cdot \cos \alpha] \eta_{xk}'' + [(EJ_V \cos^2 \alpha + EJ_U \sin^2 \alpha) \eta_{zk}'''] \} - [N \eta_{zk}'] & \\
+ m \ddot{\eta}_{zk} + 2m \omega \beta_0 \dot{\eta}_{xk} - m(\ddot{\phi}_y \cos \psi_k - \ddot{\phi}_x \sin \psi_k)(l_{\text{зу}} + \rho) + 2m \omega(\dot{\phi}_x \cos \psi_k + \dot{\phi}_y \sin \psi_k) & \\
(l_{\text{зу}} + \rho) = f_{zk} & \quad (1б) \\
\dots &
\end{aligned}$$

$2 \times z_{\text{л}}$ – уравнений типа (1а), (1б)

где $k = 1 \dots z_{\text{л}}$,

ρ, R – текущий и конечный радиус лопасти;

$m = m(\rho)$ – погонная масса лопасти;

$EJ_U = EJ_U(\rho), EJ_V = EJ_V(\rho)$ - погонные изгибные жесткости лопастей в плоскости наибольшей и наименьшей жесткости;

$k_{xx} \dots k_{\varphi_z \varphi_z}$ - коэффициенты матрицы демпфирования опоры;

$c_{xx} \dots c_{\varphi_z \varphi_z}$ - коэффициенты матрицы динамической жесткости опоры;

$l_{\text{ши}}, l_{\text{ви}}$ - выносы горизонтальных и вертикальных шарниров;

β_0 - средний угол конусности махового движения лопастей в ПТ;

$f_{x,k} = f_{x,k}(\rho, t), f_{z,k} = f_{z,k}(\rho, t)$ - внешняя распределенная переменная нагрузка на лопасть во вращающейся системе координат в ПВ и в ПТ.

В представленных уравнениях (1) для простоты индексы в скобках опущены. Функции $\eta_{x,k}(\rho, t), \eta_{z,k}(\rho, t)$ должны также удовлетворять обычным краевым условиям, соответствующим виду закрепления лопастей на втулке.

Замена переменных на специальные обобщенные координаты

Для решения системы уравнений (1) применяется метод Бубнова-Галеркина [6, 8, 9], при этом в качестве координатных функций разложения используются собственные формы колебаний изолированной лопасти

$$\begin{Bmatrix} \eta_{xk}(\rho, t) \\ \eta_{zk}(\rho, t) \end{Bmatrix} = \sum_{j=1}^{N_T} \begin{Bmatrix} \psi_{x,j}(\rho) \\ \psi_{z,j}(\rho) \end{Bmatrix} q_{k,j}(t) \quad (2)$$

где, $j = 1 \dots N_T$ - число учитываемых тонов в разложении по собственным формам;

$q_{j,k}$ - обобщенная координата j -го тона для k -ой лопасти;

$\psi_{x,j}(\rho), \psi_{z,j}(\rho)$ - собственные формы изолированной лопасти j -го тона в ПВ и ПТ

[10].

В результате исходная система уравнений (1) преобразуется в систему обыкновенных дифференциальных уравнений (ОДУ) с периодическими коэффициентами размерностью:

$$n = (6 + z_n \cdot N_T).$$

Преобразование исходных обобщенных координат, описывающих колебания каждой отдельной лопасти во вращающейся системе координат, на специальные обобщенные координаты, описывающие совместные колебания всех лопастей НВ, в невращающейся системе координат осуществляется подстановкой [1, 11, 12]:

$$\bar{q}_{k,j}(t) = L_{\psi_k} \cdot \bar{U}_j(t) \quad (3)$$

где, $\bar{q}_{k,j}(t) = [q_{1,j} \dots q_{k,j} \dots q_{z_n,j}]^T$ - вектор исходных обобщенных координат, размерностью $[1 \times z_n]$;

$\bar{U}_j(t) = [u_{0,j}, u_{1,j}, v_{1,j}, \dots, u_{s,j}, v_{s,j}]^T$ - вектор специальных обобщенных координат НВ, для систем, обладающих круговой симметрией, размерностью $[1 \times z_n]$;

$s = 2 \dots (z_n - 1) / 2$ - целое число, определяющее порядок обобщенной координаты, для

z_n - нечетного числа лопастей;

$s = 2 \dots (z_n - 2) / 2$ - порядок обобщенной координаты, для z_n - четного числа лопастей;

$L_{\psi_k} = \{L_0 \quad L_{1\psi_k} \quad \dots \quad L_{S\psi_k}\}$ - матрица преобразования координат, размерностью $[z_n \times z_n]$ для нечетного числа лопастей и размерностью $[(z_n - 1) \times z_n]$ - для четного числа (без учета координат для самоуравновешенных форм $z_n/2$ -порядка);

$L_0 = \begin{Bmatrix} 1 \\ \vdots \\ 1 \end{Bmatrix}$ - вектор столбец размерностью $[1 \times z_n]$, соответствующий нормальным

координатам 0-го порядка $u_{0,j}(t)$ для синфазных форм колебаний лопастей НВ;

$L_{1\psi} = \begin{Bmatrix} \cos \psi_1 & \sin \psi_1 \\ \dots & \dots \\ \cos \psi_k & \sin \psi_k \end{Bmatrix}$ - прямоугольная матрица преобразования размерностью $[2 \times z_n]$

для циклических координат 1-го порядка $[u_{1,j}, v_{1,j}]^T$;

$L_{S\psi} = \begin{Bmatrix} \cos S\psi_1 & \sin S\psi_1 \\ \dots & \dots \\ \cos S\psi_k & \sin S\psi_k \end{Bmatrix}$ - прямоугольная матрица преобразования размерностью $[2 \times z_n]$

для циклических координат S-го порядка $[u_{S,j}, v_{S,j}]^T$.

Отметим существование обратного преобразования, имеющего следующий вид:

$$U_{0,j} = L_0^T \cdot q_{k,j}$$

$$U_{S,j} = \frac{2}{z_n} L_{\psi_k}^T \cdot q_{k,j}, \quad (\text{индекс } (t) \text{ опущен}).$$

Якобиан преобразования:

$$J = \begin{vmatrix} \partial U_{0,j} / \partial q_{1,j} & \dots & \partial U_{0,j} / \partial q_{z_n,j} \\ \dots & \dots & \dots \\ \partial U_{S,j} / \partial q_{1,j} & \dots & \partial U_{S,j} / \partial q_{z_n,j} \end{vmatrix} \neq 0.$$

По своему физическому смыслу, обобщенные координаты $[u_{0,j} \dots u_{s,j}, v_{s,j}]^T$ определяют форму колебаний НВ - конфигурацию всего винта в целом, для формы j -го тона собственных колебаний отдельной лопасти, задавая распределение амплитуд лопастей по азимуту ψ_k для каждой k -ой лопасти. По определению Л.Н. Гродко [1] такие координаты являются «нормальными координатами 2-го рода», так как при их использовании уравнения свободных колебаний механической системы разделяются на отдельные независимые группы. Необходимо отметить, что подобные обобщенные координаты – «координаты Колемана» (Coleman R.P.) [13] использовались для исследования самовозбуждающихся колебаний типа «Земной и воздушный резонанс» [14 - 17].

В качестве примера на Рис.2 показаны нормальные формы изгибных колебаний лопастей в ПВ для обобщенных координат 0-го и 1-го порядков для шестилопастного НВ вертолета МИ-38 для $j = 4$, где $u_{0,j}$ – координате соответствует синфазные формы колебаний и распределение нагрузки с результирующей в невращающейся системе $OXYZ$ в виде крутящего момента M_z , u_{1j} – координате, соответствует распределение амплитуд колебаний с результирующей силой P_y в направлении поперечной оси Y , а v_{1j} – координате с результирующей силой $(-P_x)$ вдоль продольной оси X .

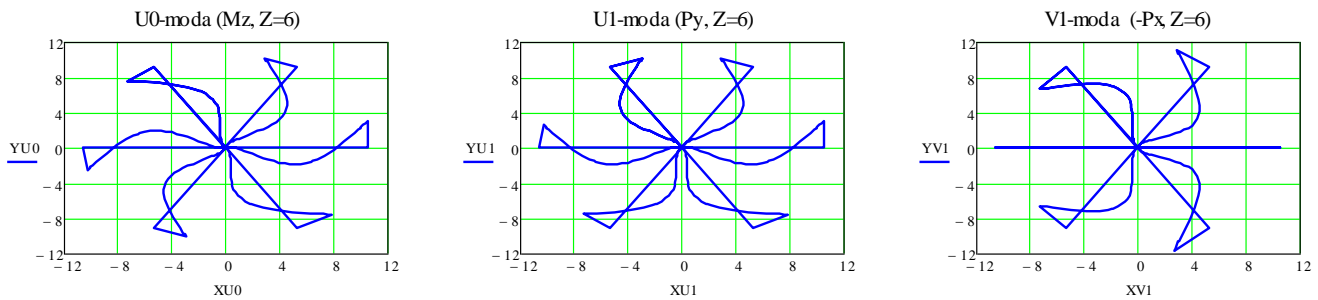


Рис.2. Формы синфазных и циклических колебаний лопастей НВ в ПВ для обобщенных координат $u_{0,j}$ - 0-го и $u_{1,j}, v_{1,j}$ 1-го порядков.

Полученную для "новых" координат систему дифференциальных уравнений, можно записать в обычном виде [6], как для линейной механической системы с постоянными коэффициентами:

$$A \ddot{\bar{q}}(t) + B \dot{\bar{q}}(t) + C \bar{q}(t) = \bar{Q}(t) \quad , \quad (4)$$

где

$$\bar{q}(t) = [x, y, \dots, \varphi_z, u_{0,1} \dots u_{0,N_T} \dots u_{s,N_T}, v_{s,N_T}]^T,$$

$$\bar{Q}(t) = [Px, Py, \dots, M_z, Qu_{0,1} \dots Qu_{0,N_T} \dots Qu_{s,N_T}, Qv_{s,N_T}]^T$$

– векторы-столбцы, соответственно, обобщенных координат и обобщенных сил, имеющие размерность $[1 \times n]$, а соответствующие матрицы А, В, С - есть квадратные матрицы размерностью $[n \times n]$ с постоянными коэффициентами. Отметим, что система уравнений (4) практически в большинстве случаев разделяется на независимые группы уравнений, описывающие синфазные, циклические и самоуравновешенные формы колебаний НВ, что существенно понижает размерность задачи, и упрощает проведение анализа совместных колебаний упругих лопастей НВ.

После преобразования внешних нагрузок и решения задачи о собственных и вынужденных колебаниях для рассматриваемой системы ОДУ (4) в обобщенных координатах с правой частью, для заданных значений ω , можно определить, как собственные частоты, так и амплитуды вынужденных колебаний втулки НВ в невращающейся системе и соответствующие формы колебаний лопастей НВ [11, 18].

Преобразование нагрузок и формирование векторов обобщенных сил

В общем случае, компоненты вектора нормальных обобщенных сил для нагрузок на лопастях НВ будут иметь следующий вид:

$$\{Qu_{0,j}\} = L_0^T \cdot \begin{Bmatrix} Q_{1,j}(t) \\ \vdots \\ Q_{z_n,j}(t) \end{Bmatrix} \quad (5)$$

$$\begin{Bmatrix} Qu_{s1,j} \\ Qv_{s1,j} \end{Bmatrix} = L_{S\psi_k}^T \cdot \begin{Bmatrix} Q_{1,j}(t) \\ \vdots \\ Q_{z_n,j}(t) \end{Bmatrix} \quad (6)$$

где

$s1 = 1 \dots (z_n - 1) / 2$ - для четного числа лопастей,

$s1 = 1 \dots (z_n - 2) / 2$ - для нечетного числа лопастей,

$Q_{k,j}$ - обобщенные силы во вращающейся системе координат.

Для определенности, рассмотрим преобразования для переменных нагрузок, действующих в ПВ на лопасть НВ во вращающейся системе, следующего вида:

$$f_{x,k}^n(\rho, t) = \delta_c^n \cdot \varphi_c^n(\rho) \cdot \cos[n(\omega t + \bar{\psi}_k)] + \delta_s^n \cdot \varphi_s^n(\rho) \cdot \sin[n(\omega t + \bar{\psi}_k)] \quad (7)$$

где, δ_c^n, δ_s^n - коэффициенты амплитуд для n -ой гармонической составляющей,

$\varphi_c^n(\rho), \varphi_s^n(\rho)$ - нормированные функции формы распределения для n -ой гармонической составляющей внешней нагрузки.

$$f_{z,k}^n(\rho, t) = 0$$

Тогда, для каждой обобщенной силы во вращающейся системе можно записать:

$$Q_{k,j}^n = p_{c,j}^n \cdot \cos[n(\omega t + \bar{\psi}_k)] + p_{s,j}^n \cdot \sin[n(\omega t + \bar{\psi}_k)] ,$$

где

$p_{c,j}^n = \delta_c^n \cdot \int_{l_0}^R \psi_j(\rho) \cdot \phi_c^n(\rho) d\rho$ - обобщенная амплитуда \cos -ой составляющей n -ой

гармоники для j -го тона во вращающейся системе координат;

$p_{s,j}^n = \delta_s^n \cdot \int_{l_0}^R \psi_j(\rho) \cdot \phi_s^n(\rho) d\rho$ - обобщенная амплитуда \sin -ой составляющей n -ой

гармоники для j -го тона во вращающейся системе координат.

Для обобщенных сил 0-го порядка в невращающейся системе, имеем

$$Qu_{0,j} = p_{c,j}^n \cdot \sum_{k=1}^{z_n} \cos[n(\omega t + \bar{\psi}_k)] + p_{s,j}^n \cdot \sum_{k=1}^{z_n} \sin[n(\omega t + \bar{\psi}_k)].$$

Анализ сумм тригонометрических функций, показывает, что не нулевые значения возможны только для гармоник с номерами $n = p \cdot z_n$, где p - целое число, для которых выражения обобщенных сил имеет следующий вид:

$$Qu_{0,j} = z_n \cdot p_{c,j}^{pz} \cdot \cos[pz(\omega t + \bar{\psi}_k)] + z_n \cdot p_{s,j}^{pz} \cdot \sin[pz(\omega t + \bar{\psi}_k)] \quad (8)$$

Соответственно, для обобщенных сил 1-го порядка в невращающейся системе, имеем:

$$Q_{u_{s1,j}} = p_{c,j}^n \sum_{k=1}^{z_n} \{ \cos[s1(\omega t + \bar{\psi}_k)] \cdot \cos[n(\omega t + \bar{\psi}_k)] \} + p_{s,j}^n \sum_{k=1}^{z_n} \{ \cos[s1(\omega t + \bar{\psi}_k)] \cdot \sin[n(\omega t + \bar{\psi}_k)] \},$$

$$Q_{v_{s1,j}} = p_{s,j}^n \sum_{k=1}^{z_n} \{ \sin[s1(\omega t + \bar{\psi}_k)] \cdot \cos[n(\omega t + \bar{\psi}_k)] \} + p_{c,j}^n \sum_{k=1}^{z_n} \{ \sin[s1(\omega t + \bar{\psi}_k)] \cdot \sin[n(\omega t + \bar{\psi}_k)] \}.$$

Анализ сумм произведений тригонометрических функций, обладающих свойствами ортогональности, показывает, что не нулевые значения указанных сумм возможны только для значений $S1=1$ и для проходных гармоник $n = (p \cdot z_n \pm 1)$, где p - целое число, поэтому все обобщенные силы, соответствующие другим возможным сочетаниям чисел $s1$ и n равны нулю. Равенство нулю обобщенных сил $Q_{u_{s1,j}}, Q_{v_{s1,j}}$ в невращающейся системе, при действии нагрузок $Q_{k,j}^n(t)$ на каждой k -ой лопасти во вращающейся системе, физически означает, что в целом на НВ, как системы обладающей круговой симметрией, действует самоуравновешенная система нагрузок, и как следствие, колебаний втулки НВ с частотами указанных непроходных гармоник не возникает. Поэтому, расчет на вынужденные колебания лопастей для всех непроходных гармоник, можно проводить во вращающейся системе координат для изолированной лопасти.

Выражения для обобщенных сил в невращающейся системе, соответствующих циклическим формам 1-го порядка ($S1=1$) и нагрузкам, действующим с проходными гармониками $n = (z_n \pm 1)$, имеют следующий вид:

$$\begin{cases} Q_{u_{1,j}} \\ Q_{v_{1,j}} \end{cases} = \frac{z_n}{2} \cdot \begin{cases} p_{c,j}^{z-1} \cdot \cos(z_n \omega t) + p_{s,j}^{z-1} \cdot \sin(z_n \omega t) \\ p_{c,j}^{z-1} \cdot \sin(z_n \omega t) - p_{s,j}^{z-1} \cdot \cos(z_n \omega t) \end{cases} \quad (9)$$

для $(z-1)$ -ой гармоники;

$$\begin{Bmatrix} Qu_{1,j} \\ Qv_{1,j} \end{Bmatrix} = \frac{z_n}{2} \cdot \begin{Bmatrix} p_{c,j}^{z+1} \cdot \cos(z_n \omega t) + p_{s,j}^{z+1} \cdot \sin(z_n \omega t) \\ -p_{c,j}^{z+1} \cdot \sin(z_n \omega t) + p_{s,j}^{z+1} \cdot \cos(z_n \omega t) \end{Bmatrix} \quad (10)$$

для $(z+1)$ -ой гармоники.

В невращающейся системе координат $OXYZ$, обобщенным силам $\begin{Bmatrix} Q^1 u_j \\ Q^1 v_j \end{Bmatrix}$ соответствуют силы $\begin{Bmatrix} P_y \\ -P_x \end{Bmatrix}$, при этом для каждой проходной гармоники указанные силы можно представить в виде пары векторов вращающихся по круговой траектории с лопастной частотой $f_z = z_n \omega$ с длинами $\rho_{c,j}^{z-1} = \frac{z_n}{2} \cdot p_{c,j}^{z-1}, \dots, \rho_{s,j}^{z+1} = \frac{z_n}{2} \cdot p_{s,j}^{z+1}$, сдвинутых по фазе на $\frac{\pi}{2}$. Причем, векторы для $(z-1)$ -ой гармоники вращаются по вращению НВ, а векторы для $(z+1)$ -ой гармоники против вращения НВ. Очевидно, что во вращающейся системе $O\zeta\eta Z$, векторы суммарных сил имеют такие же длины, как и в невращающейся системе, но вращение векторов будет происходить, соответственно, с частотами $f_{z-1} = (z_n - 1)\omega$ и $f_{z+1} = (z_n + 1)\omega$.

Движения втулки и лопастей НВ в невращающейся и вращающейся системах координат

Для анализа получаемых результатов расчетов на вынужденные колебания и сопоставления с экспериментальными данными записей вибраций на вращающихся частях втулки, представляет интерес рассмотреть характер движения и колебательных процессов втулки и лопастей в обеих системах координат. Т.к. для

координат синфазных форм $[z, \varphi_z, \dots, u_{0,j}]^T$ характер движения не изменяется при переходе от невращающейся к вращающейся системе, рассмотрим колебания только для координат циклических форм $[x, \dots, \varphi_y, \dots, u_{1,j}, v_{1,j}]^T$.

В общем случае выражения для вынужденных колебаний втулки в ПВ, в невращающейся системе координат $OXYZ$ имеет следующий вид:

$$\begin{cases} xo(t) \\ yo(t) \end{cases} = \begin{cases} x_c \\ y_c \end{cases} \cdot \cos z_n \omega t + \begin{cases} x_s \\ y_s \end{cases} \cdot \sin z_n \omega t, \quad \text{где}$$

$$\begin{aligned} x_c &= (xo_c^c + xo_c^s), & x_s &= (xo_s^c + xo_s^s), \\ y_c &= (yo_c^c + yo_c^s), & y_s &= (yo_s^c + yo_s^s), \end{aligned}$$

$x0_c^c \dots y0_s^s$ - координаты опоры, полученные при решении системы (4), где верхний индекс определяет составляющую внешней нагрузки, а нижний определяет составляющую отклика перемещения.

Во вращающейся системе $O\zeta\eta Z$ для втулки НВ имеем суперпозицию двух движений:

$$\begin{aligned} \begin{cases} \zeta 1(t) \\ \eta 1(t) \end{cases} &= \frac{1}{2} \cdot \begin{cases} (x_c + y_s) \\ -(x_s + y_c) \end{cases} \cdot \cos(z_n - 1) \omega t + \frac{1}{2} \cdot \begin{cases} (x_s + y_c) \\ (x_c + y_s) \end{cases} \cdot \sin(z_n - 1) \omega t, \\ \begin{cases} \zeta 2(t) \\ \eta 2(t) \end{cases} &= \frac{1}{2} \cdot \begin{cases} (x_c - y_s) \\ (x_s + y_c) \end{cases} \cdot \cos(z_n + 1) \omega t + \frac{1}{2} \cdot \begin{cases} (x_s + y_c) \\ -(x_c - y_s) \end{cases} \cdot \sin(z_n + 1) \omega t, \end{aligned}$$

где

$\zeta 1(t), \eta 1(t), \zeta 2(t), \eta 2(t)$ - координаты втулки соответственно для $(z_n - 1)$ и $(z_n + 1)$ гармоник.

Формы колебаний лопастей НВ в невращающейся системе представляются в виде нормальных форм, для соответствующих обобщенных координат НВ:

$$\begin{aligned}\{Xu_c(\rho)\} &= \{\psi_j(\rho)\}^T \cdot \{u_{c,j}\}, & \{Xu_s(\rho)\} &= \{\psi_j(\rho)\}^T \cdot \{u_{s,j}\}, \\ \{Xv_c(\rho)\} &= \{\psi_j(\rho)\}^T \cdot \{v_{c,j}\}, & \{Xv_s(\rho)\} &= \{\psi_j(\rho)\}^T \cdot \{v_{s,j}\},\end{aligned}$$

где $\{\psi_j(\rho)\}^T$ - вектор – строка, размерностью $[1 \times N_T]$, состоящая из собственных форм (координатных функций) изолированной лопасти, принятых в разложении (2), $\{u_{c,j}\}, \dots, \{v_{s,j}\}$ – векторы – столбцы обобщенных координат для невращающейся системы, размерностью $[1 \times N_T]$.

Выражение для поперечных колебаний ρ -го радиуса отдельной k -ой лопасти во вращающейся системе $\zeta O \eta$ в общем случае имеет следующий вид:

$$\begin{aligned}\{\eta_k(\rho, t)\} &= [\{Xu_c(\rho)\} \cdot \cos z_n \omega t + \{Xu_s(\rho)\} \cdot \sin z_n \omega t] \cdot \cos(\omega t + \psi_k) + \\ &+ [\{Xv_c(\rho)\} \cdot \cos z_n \omega t + \{Xv_s(\rho)\} \cdot \sin z_n \omega t] \cdot \sin(\omega t + \psi_k).\end{aligned}$$

По аналогии с движением втулки во вращающейся системе, имеем:

$$\begin{aligned}\{\eta 1(\rho, t)\} &= \{\eta 1_c(\rho)\} \cdot \cos(z_n - 1) \omega t + \{\eta 1_s(\rho)\} \cdot \sin(z_n - 1) \omega t, \\ \{\eta 2(\rho, t)\} &= \{\eta 2_c(\rho)\} \cdot \cos(z_n + 1) \omega t + \{\eta 2_s(\rho)\} \cdot \sin(z_n + 1) \omega t,\end{aligned}$$

$$\begin{aligned}\{\eta 1_c(\rho)\} &= \frac{1}{2} \cdot \{Xu_c(\rho) + Xv_s(\rho)\}, & \{\eta 1_s(\rho)\} &= \frac{1}{2} \cdot \{Xu_s(\rho) - Xv_s(\rho)\} \\ \{\eta 2_c(\rho)\} &= \frac{1}{2} \cdot \{Xu_c(\rho) - Xv_s(\rho)\}, & \{\eta 2_s(\rho)\} &= \frac{1}{2} \cdot \{Xu_c(\rho) + Xv_s(\rho)\},\end{aligned}$$

где \cos -ая и \sin -ая составляющие, соответственно, для $(z_n - 1)$ и $(z_n + 1)$ гармоник.

В качестве иллюстраций указанных преобразований, на Рис.3,4 представлены графики, показывающие изменение траектории движения точки на лопасти и характера колебательного процесса при переходе из вращающейся системы в невращающуюся систему.

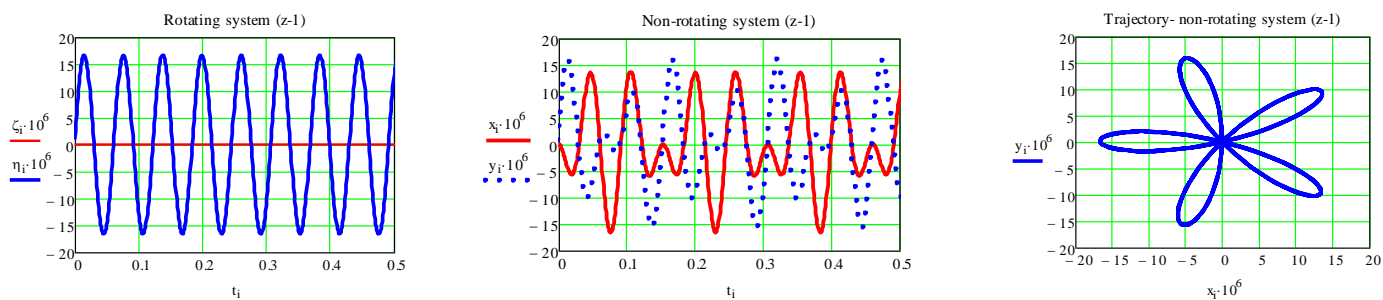


Рис.3 Движение точки лопасти на радиусе $\rho = 0,5$ в ПВ во вращающейся и невращающейся системах для $(z_n - 1)$ -гармоники и траектория движения в невращающейся системе.

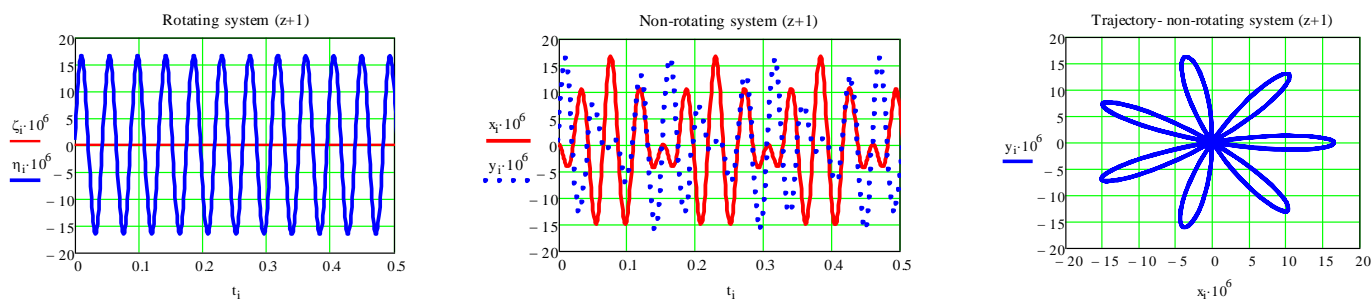


Рис.4. Движение точки лопасти на радиусе $\rho = 0,5$ в ПВ во вращающейся и невращающейся системах для $(z_n + 1)$ -гармоники

Как видно, поперечные гармонические колебания точки $\eta(t)$, действующие с частотой p -ой гармоники, преобразуются в полигармонические колебания $x(t), y(t)$, действующие с частотами $(p \pm 1)\omega$, и при этом за один оборот НВ формируется сложная траектория движения в виде “ромашки”. Также следует отметить, что для НВ с четным числом лопастей количество лепестков “ромашки” равно p , в то же время для НВ с нечетным числом лопастей количество лепестков равно $2 \cdot p$.

Некоторые практические результаты

Для обеспечения приемлемых уровней (согласно требованиям ГОСТ 23718-2014) нормально-обусловленных вибраций (НОВ) вертолета, необходимо на этапе проектирования проводить расчетные исследования динамической реакции системы «НВ – опора» на воздействие переменных нагрузок, действующих с частотами проходных гармоник с построением РД и графиков АЧХ [18 - 20].

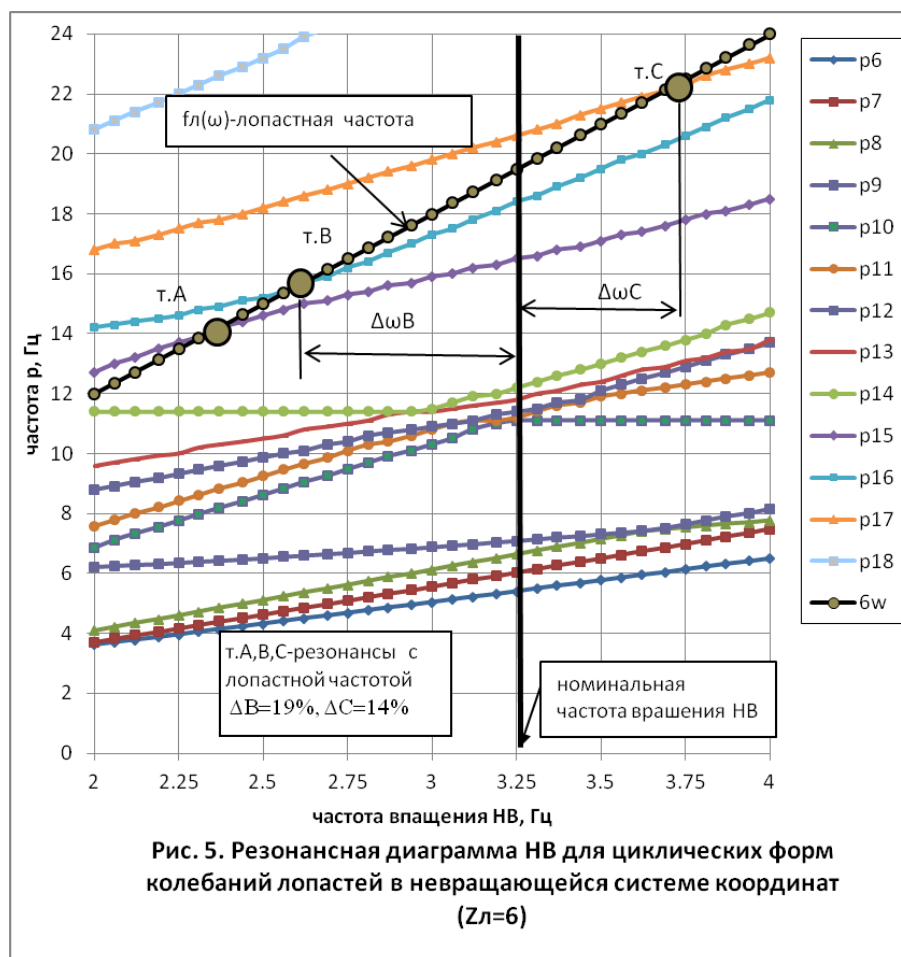
В качестве примера применения специальных обобщенных координат, рассмотрим некоторые результаты расчетов соответствующих РД и АЧХ для вертолета Ми-38 с шестилопастным НВ, имеющего гибкие пластиково-композиционные лопасти, с относительной частотой 1-го изгибного шарнирного тона изолированной лопасти в ПВ $\bar{p}_{1ep} = (p_{1ep} / \omega) \approx 3,1$.

1. Циклические формы

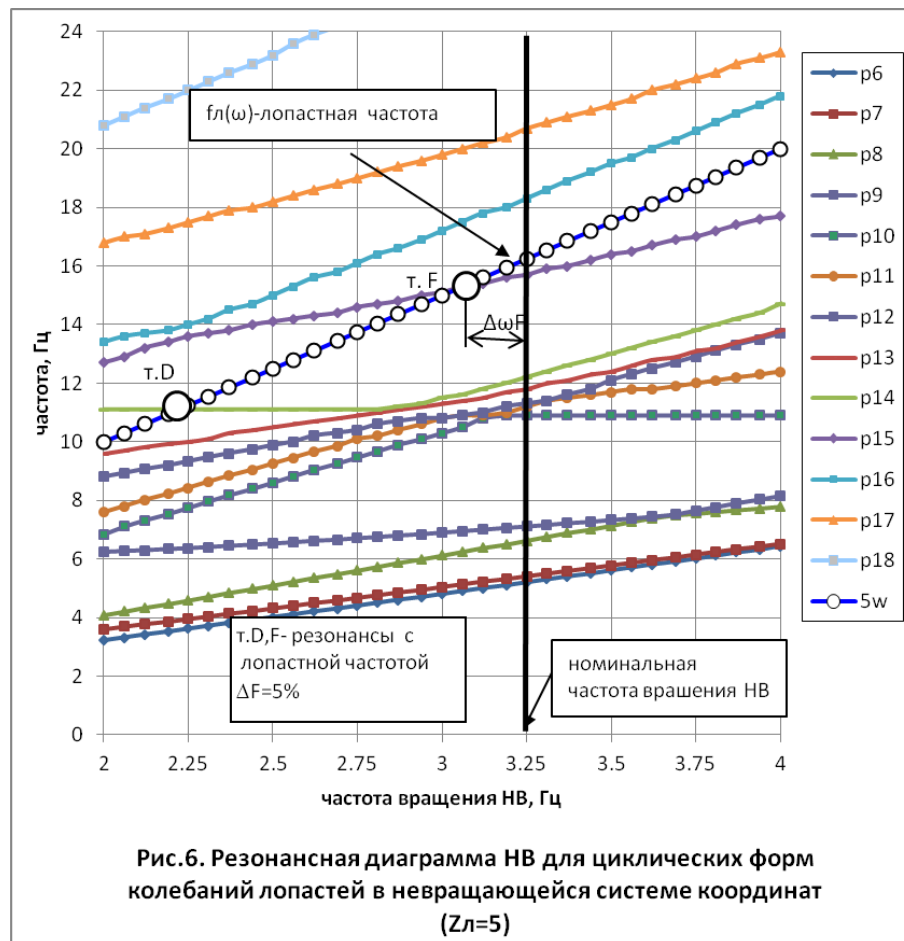
Рассматривается группа независимых уравнений из системы (4) размерностью $\{18 \times 18\}$, описывающая совместные поперечные и угловые колебания втулки $\{x, y, \varphi_x, \varphi_y\}^T$ и изгибные колебания лопастей НВ. При этом, для учета демпфера лопасти в ПВ в исходную систему (1) добавляется z_n уравнений колебаний лопастей.

Значения коэффициентов матриц динамической жесткости $C_0(\nu)$ и демпфирования $K_0(\nu)$ для упругодемпфирующей опоры определены расчетно-экспериментальным способом для лопастной частоты НВ $\nu = z_n \cdot \omega$ на номинальных частотах вращения и, для простоты анализа, принимаются постоянными в исследуемом диапазоне частот вращения НВ.

На Рис.5 показана расчетная РД НВ в невращающейся системе координат для циклических форм колебаний лопастей вертолета МИ-38, построенная по результатам расчета на собственные колебания рассматриваемой системы “НВ-опора”.



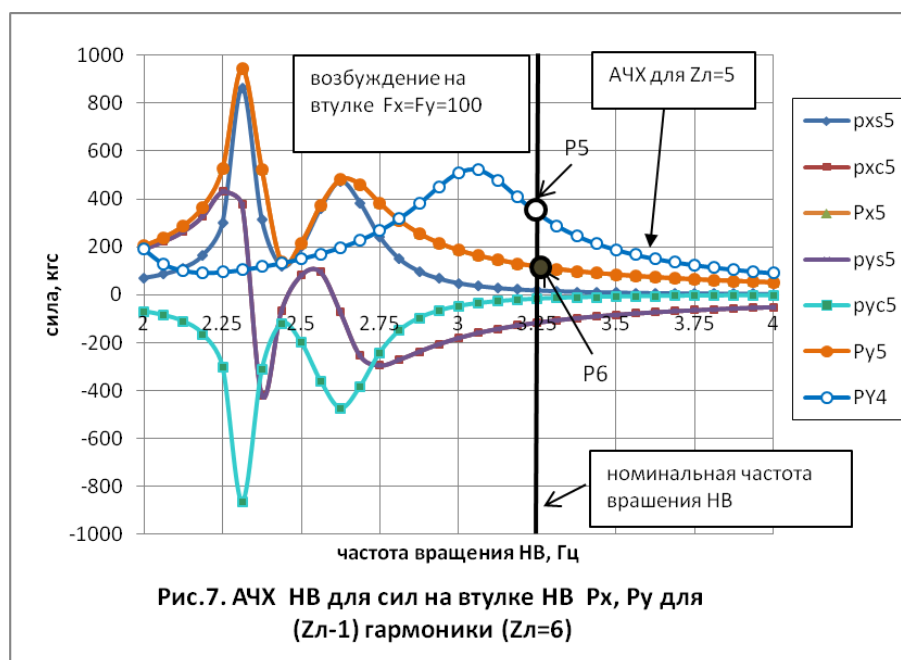
На рис.6, для сравнения, показана аналогичная РД для первоначального варианта НВ с числом лопастей $z_n = 5$.



На представленных РД изображены траектории собственных частот $p_n(\omega)$ при изменении частоты вращения ω НВ, а также прямая линия $fl(\omega) = z_l \omega$, соответствующая лопастной частоте НВ, при пересечении которых, определяются резонансные собственные частоты (т.А, т.В,...т.Ф) и степень отстройки ближайших резонансных частот от номинальной частоты вращения НВ $\omega_{нв} = 3,25 \text{ Гц}$ в виде запасов по частоте $\Delta\omega_B, \dots, \Delta\omega_F$ и относительных запасов $\Delta B = \Delta\omega_B / \omega_{нв}, \dots, \Delta F = \Delta\omega_F / \omega_{нв}$ в процентах.

Для сравнительного анализа динамической реакции системы «НВ-опора» для НВ вертолета МИ-38 с различным числом лопастей проводятся также расчеты на вынужденные колебания с построением соответствующих АЧХ. На рис.7,8 показаны графики АЧХ системы «НВ-опора» для $z_l = 6$, в виде зависимостей

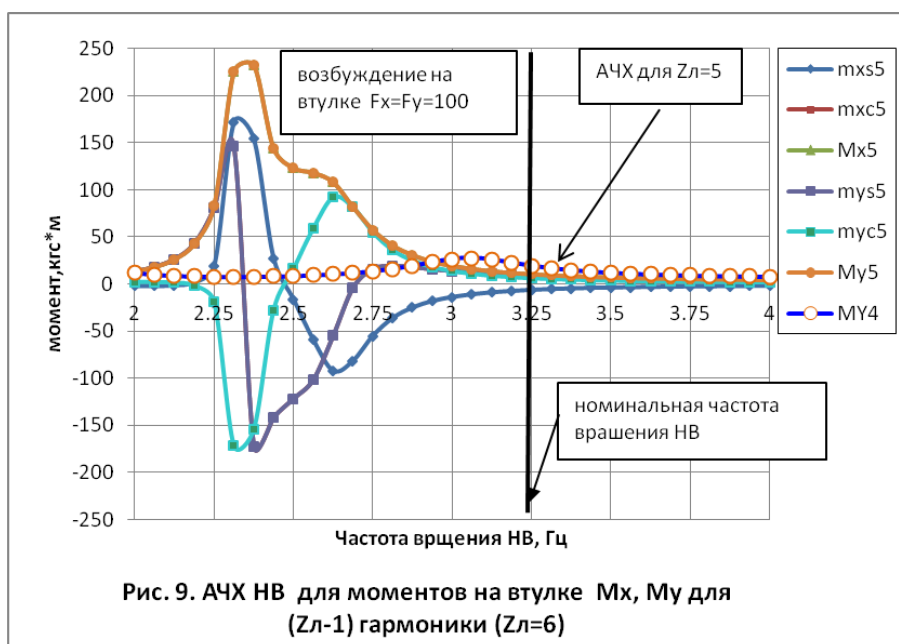
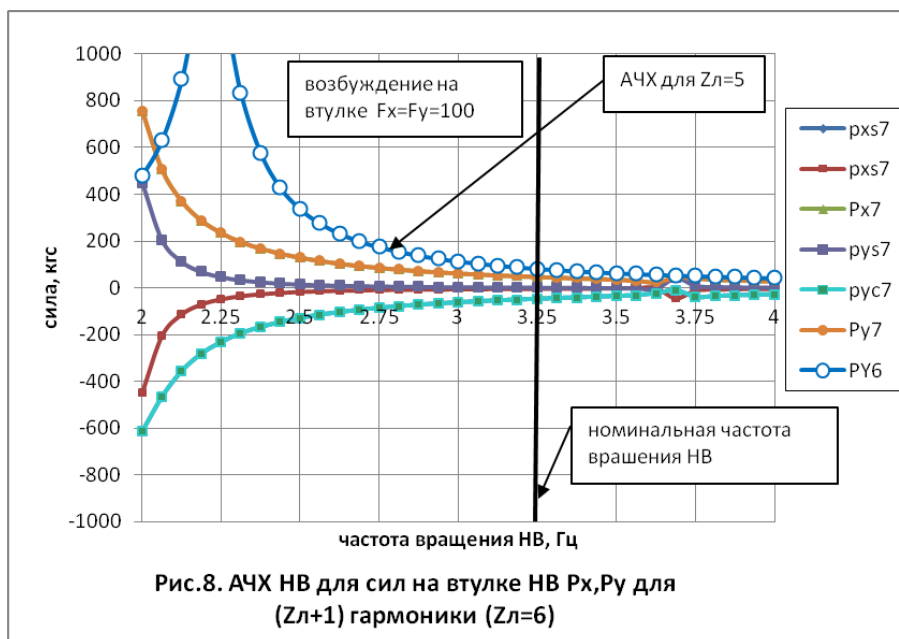
изменения амплитуд для \cos -ой и \sin -ой составляющих сил $p_x^c(\omega), \dots, p_y^s(\omega)$ и амплитуд суммарных сил $P_x(\omega), P_y(\omega)$, действующих на опору, при воздействии внешних нагрузок возбуждения $F_x = F_y = 100 \text{ кгс}$, приложенных к втулке НВ и действующих в ПВ с частотами проходных гармоник.

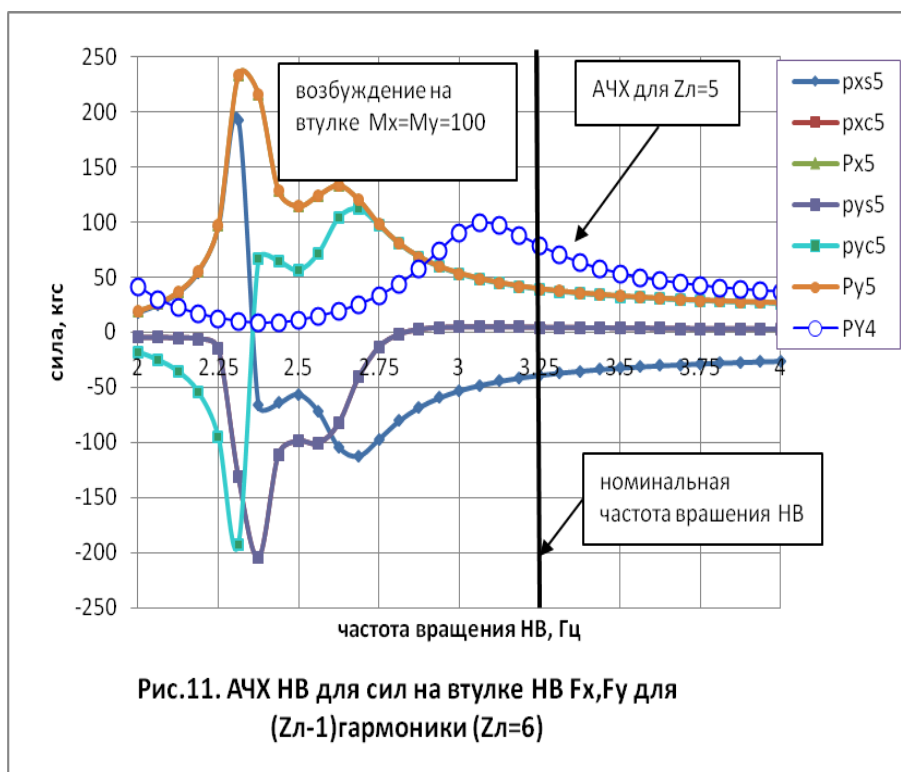
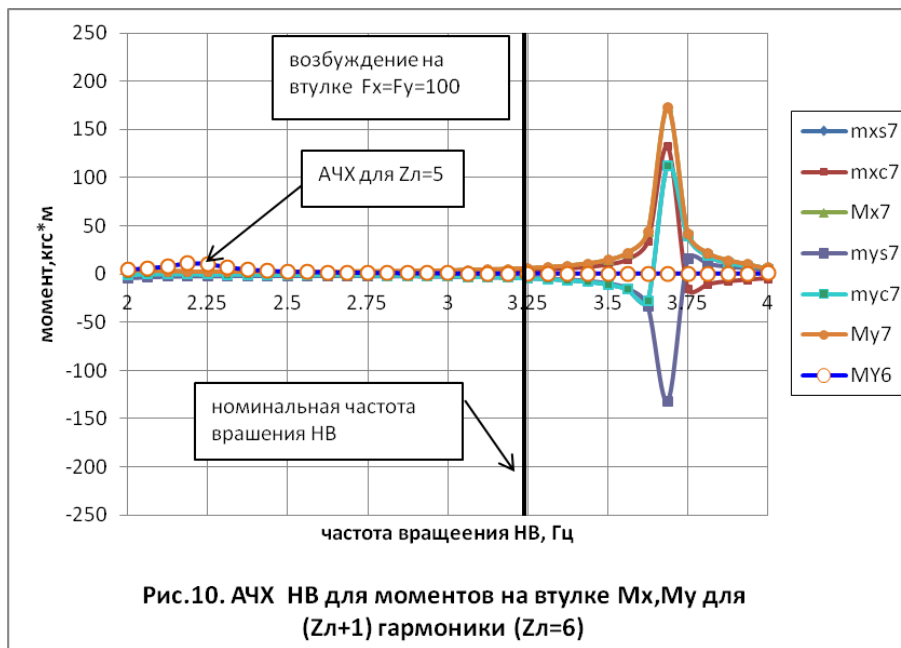


При этом заданные векторы внешней нагрузки вращаются по круговым траекториям, как по вращению НВ для $(z_l - 1)$ гармоники, так и против вращения для $(z_l + 1)$ гармоники. Кроме того, для сравнения, здесь также показаны графики суммарных амплитуд для НВ с $z_l = 5$. Следует отметить, что указанные АЧХ также можно рассматривать в виде зависимостей изменения по частоте коэффициентов динамичности по силам $Kd_p(\omega) = P(\omega) / 100$ для системы «НВ-опора».

На рис.9,10 показаны графики перекрестных АЧХ, зависимостей изменения моментов $M_x(\omega), M_y(\omega)$, действующих на опору, от воздействия указанных сил, а на

Рис.11,12 показаны аналогичные графики для сил на опоре от воздействия переменных моментов на втулке $M_x = M_y = 100 \text{ кгс} \cdot \text{м}$.





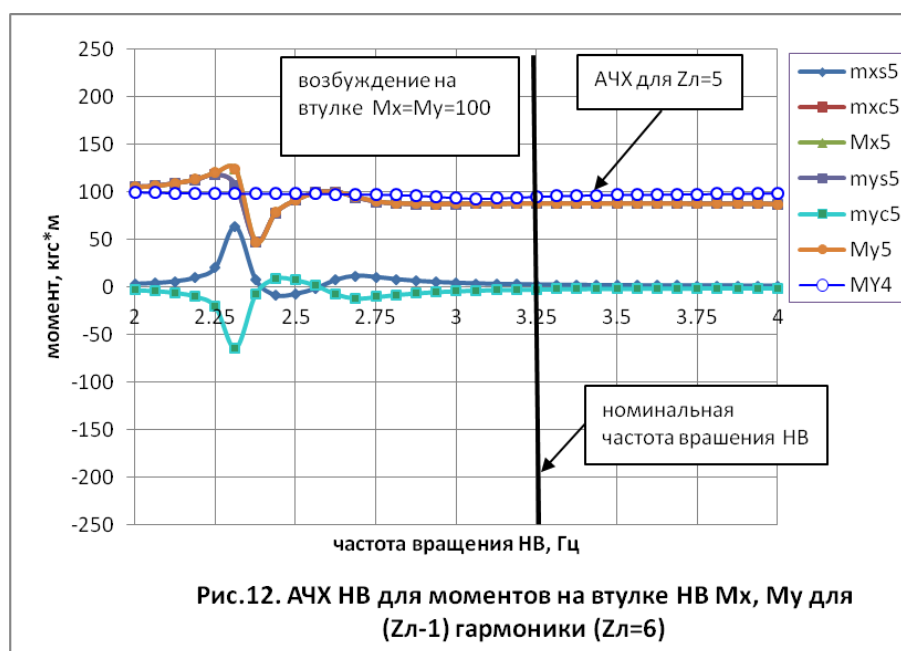


Рис.12. АЧХ НВ для моментов на втулке НВ M_x , M_y для (Z_l-1) гармоники ($Z_l=6$)

Из сравнительного анализа представленных данных для двух рассматриваемых вариантов количества лопастей НВ следует:

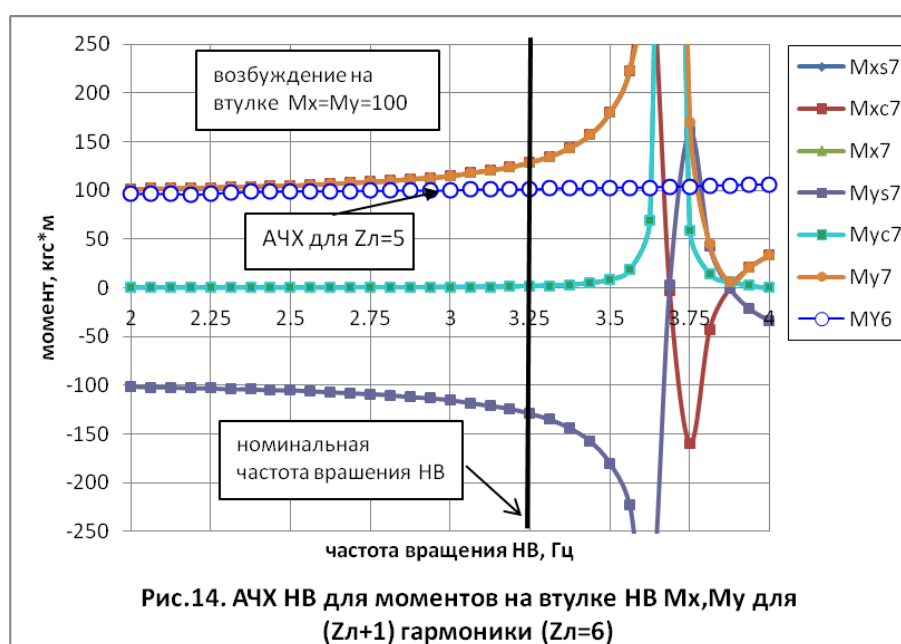
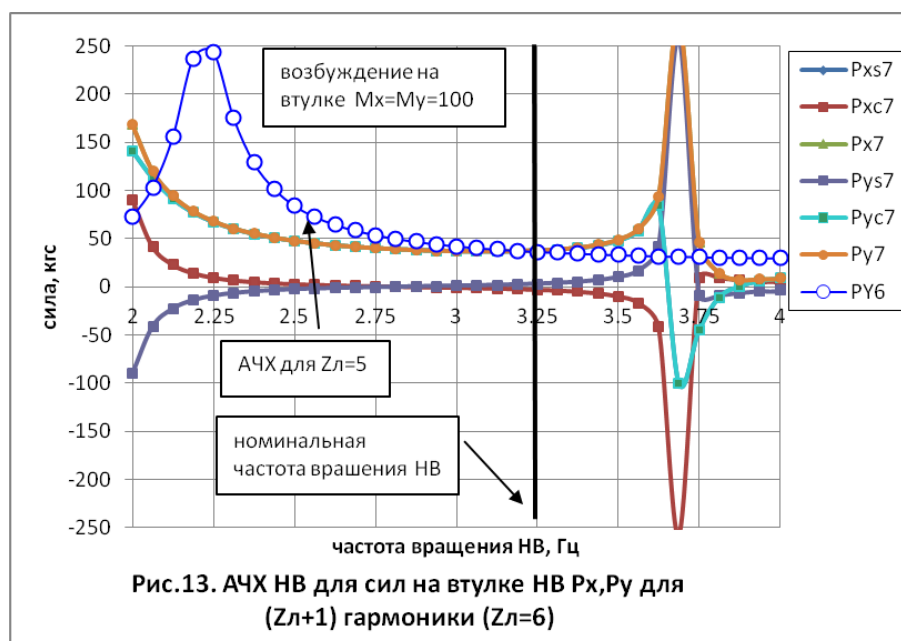
- собственные частоты исследуемой системы “НВ-опора” для НВ в шестилопастном варианте значительно дальше отстроены от лопастной частоты возбуждения, и резонансные частоты имеют запасы не менее $\Delta = (14...19)\%$, что практически в $\sim 3...5$ раз больше, чем для пятилопастного НВ;
- коэффициент динамичности по силам, на номинальной частоте вращения для НВ с $z_l = 6$ составляет $Kd_{P6} = P6 / 100 = 1,15$, что практически в ~ 3 раза меньше, чем для варианта НВ с $z_l = 5$, $Kd_{P5} = 3,4$;
- значения коэффициентов динамичности по моментам и “перекрестные” коэффициенты для обоих вариантов не превышают $\sim 0,5$.

2. Синфазные формы

Для анализа колебаний системы “НВ-опора” по синфазным формам, в качестве примера, рассматривается группа независимых уравнений из системы (4)

размерностью $\{5 \times 5\}$, описывающая совместные вертикальные колебания втулки $\{z\}$ и изгибные колебания лопастей НВ в ПТ.

На рис.13,14 показаны расчетные РД и АЧХ НВ для вертикальных сил в невращающейся системе координат для синфазных форм колебаний лопастей вертолета МИ-38 с шестилопастным НВ.



Кроме того, на Рис.14 для сравнения, показана также АЧХ для $z_n = 5$. Из представленных графиков следует, что в области номинальных частот вращения НВ, для обоих вариантов НВ резонансы отсутствуют, а коэффициенты динамичности незначительно отличаются друг от друга и не превышают $Kd_p = 1,2$.

Заключение

На основании представленного сравнительного анализа динамической реакции (РД и АЧХ) системы «НВ-опора» для двух вариантов числа лопастей НВ для вертолета МИ-38, можно сделать вывод, что вариант шестилопастного НВ по условиям вибраций является более предпочтительным, чем пятилопастный.

Необходимо отметить, что по результатам летных измерений вибраций на вертолете Ми-38, с штатным шестилопастным НВ, амплитуды вертикальных вибраций в кабине пилотов, действующие с лопастной частотой $f_n = 19,5 Гц$ в полете на крейсерской скорости $V_{кр} = 270$ км/ч, составляют не более $A_y = 0,1g$, что ниже требований ГОСТ 23718-2014 по допускаемым уровням вибраций для вертолетов гражданской авиации и, соответственно, подтверждает обоснованность принятого выбора числа лопастей НВ.

Библиографический список

1. Бидерман В.Л. Теория механических колебаний. - М.: Высшая школа, 1980. - 408 с.

2. Баскин В.Э., Вильдгрубе Л.С., Вождаев В.С., Майкапар Г.Н. Теория несущего винта. - М.: Машиностроение, 1973. – 364 с.
3. Миль М.Л. и др. Вертолеты: расчет и проектирование. - М.: Машиностроение, 1967. Т. 2. - 424 с.
4. Джонсон У. Теория вертолета. - М.: Мир, 1983. Т. 1. - 502 с, Т. 2. – 529 с.
5. Wnuk M.P. Nonlinear Fracture Mechanics, Vienna, Springer Vienna, 1990, 451 p.
6. Вибрации в технике: справочник. - М.: Машиностроение, 1978. Т. 1. - 358 с.
7. Coleman R.P., Feingold A.M. Theory of self-excited mechanical oscillations of helicopter rotors with hinged blades. NASA Technical Report 1351, 1958, available at: <https://digital.library.unt.edu/ark:/67531/metadc60767>
8. Игнаткин Ю.М., Макеев П.В, Шомов А.И. Программный комплекс для расчета аэродинамических характеристик несущих и рулевых винтов вертолетов на базе нелинейной лопастной вихревой теории // Труды МАИ. 2010. № 38. URL: <http://trudymai.ru/published.php?ID=14148>
9. Черноусько Ф.Л., Акуленко Л.Д., Соколов Б.Н. Управление колебаниями. – М.: Наука, 1980. – 384 с.
10. Рикардс Р.Б. Метод конечных элементов в теории оболочек и пластин. - Рига: Зинатне, 1988. - 284 с.
11. Загордан А.А. О расчете колебаний несущего винта вертолета в плоскости вращения с виброгасителем маятникового типа // Техника воздушного флота. 2007. № 3 - 4. С. 686 - 687.

12. Михеев С.В. Прикладная механика в вертолетостроении. – М.: Альтекс, 2003. - 264 с.
13. Брамвелл А.Р.С. Динамика вертолетов. - М.: Машиностроение, 1982. - 368 с.
14. Бахов О.П. Аэроупругость и динамика конструкции вертолета. - М.: Машиностроение, 1985. – 172 с.
15. Chen P.C., Chopra I. Wind tunnel test of a smart rotor with individual blade twist control // Proceedings of the SPIE, 1997, vol. 3041, pp. 217 – 230.
16. Sethi V., Song G. Pole. Placement Vibration Control of a Flexible Composite beam using Piezoceramic Sensors and Actuators // Journal of Thermoplastic Composite Materials, 2006, no. 19, pp. 293 - 308.
17. Momtarrubio L. and Sharfe I. Influence of landing gear on helicopter ground resonance // Canadian Aeronautics and Space Journal, vol. 48, issue 2, June 2002.
18. Elizabeth M. Lee-Rausch, Robert T. Biedron, FUN3D Airloads Predictions for the Full-Scale UH-60A Airloads Rotor in a Wind Tunnel // Journal of the American Helicopter Society, 2014, vol. 59, no. 3, pp. 133 - 144
19. Игнаткин Ю.М., Макеев П.В., Шомов А.И. Численное моделирование прикладных задач аэродинамики вертолета на базе нелинейной лопастной вихревой модели винта // Труды МАИ. 2016. № 87. URL: <http://trudymai.ru/published.php?ID=65636>
20. Головкин М.А., Кочиш С.И., Крицкий Б.С. Методика расчета аэродинамических характеристик комбинированной несущей системы летательного аппарата // Труды МАИ. 2012. № 55: URL: <http://trudymai.ru/published.php?ID=30023>